

# Starkniederschlagshöhen und -spenden gemäß KOSTRA-DWD-2020

## Rasterfeld 174132

(Zeile 174, Spalte 132)

### Regenspende und Bemessungsniederschlagswerte in Abhängigkeit von Wiederkehrzeit T und Dauerstufe D

| Dauerstufe D | Wiederkehrzeit T |      |            |      |            |      |            |      |            |       |            |       |            |       |            |       |            |       |            |
|--------------|------------------|------|------------|------|------------|------|------------|------|------------|-------|------------|-------|------------|-------|------------|-------|------------|-------|------------|
|              | 1 a              | 2 a  | 3 a        | 5 a  | 10 a       | 20 a | 30 a       | 50 a | 100 a      | 1 a   | 2 a        | 3 a   | 5 a        | 10 a  | 20 a       | 30 a  | 50 a       | 100 a |            |
| min          | Std              | mm   | l / (s ha) | mm   | l / (s ha) | mm   | l / (s ha) | mm   | l / (s ha) | mm    | l / (s ha) | mm    | l / (s ha) | mm    | l / (s ha) | mm    | l / (s ha) | mm    | l / (s ha) |
| 5            |                  | 7,3  | 243,3      | 8,9  | 296,7      | 9,9  | 330,0      | 11,3 | 376,7      | 13,2  | 440,0      | 15,3  | 510,0      | 16,6  | 553,3      | 18,3  | 610,0      | 20,8  | 693,3      |
| 10           |                  | 9,4  | 156,7      | 11,6 | 193,3      | 12,9 | 215,0      | 14,7 | 245,0      | 17,2  | 286,7      | 19,8  | 330,0      | 21,5  | 358,3      | 23,8  | 396,7      | 27,0  | 450,0      |
| 15           |                  | 10,8 | 120,0      | 13,3 | 147,8      | 14,8 | 164,4      | 16,8 | 186,7      | 19,7  | 218,9      | 22,7  | 252,2      | 24,7  | 274,4      | 27,2  | 302,2      | 30,9  | 343,3      |
| 20           |                  | 11,8 | 98,3       | 14,5 | 120,8      | 16,2 | 135,0      | 18,4 | 153,3      | 21,6  | 180,0      | 24,8  | 206,7      | 27,0  | 225,0      | 29,8  | 248,3      | 33,8  | 281,7      |
| 30           |                  | 13,3 | 73,9       | 16,4 | 91,1       | 18,3 | 101,7      | 20,7 | 115,0      | 24,3  | 135,0      | 28,0  | 155,6      | 30,4  | 168,9      | 33,6  | 186,7      | 38,1  | 211,7      |
| 45           |                  | 15,0 | 55,6       | 18,4 | 68,1       | 20,5 | 75,9       | 23,3 | 86,3       | 27,3  | 101,1      | 31,4  | 116,3      | 34,1  | 126,3      | 37,7  | 139,6      | 42,7  | 158,1      |
| 60           | 1                | 16,2 | 45,0       | 19,9 | 55,3       | 22,2 | 61,7       | 25,2 | 70,0       | 29,5  | 81,9       | 34,0  | 94,4       | 36,9  | 102,5      | 40,8  | 113,3      | 46,3  | 128,6      |
| 90           | 1,5              | 18,1 | 33,5       | 22,2 | 41,1       | 24,8 | 45,9       | 28,1 | 52,0       | 33,0  | 61,1       | 38,0  | 70,4       | 41,2  | 76,3       | 45,5  | 84,3       | 51,6  | 95,6       |
| 120          | 2                | 19,5 | 27,1       | 24,0 | 33,3       | 26,7 | 37,1       | 30,4 | 42,2       | 35,6  | 49,4       | 41,0  | 56,9       | 44,5  | 61,8       | 49,1  | 68,2       | 55,8  | 77,5       |
| 180          | 3                | 21,7 | 20,1       | 26,7 | 24,7       | 29,7 | 27,5       | 33,8 | 31,3       | 39,6  | 36,7       | 45,6  | 42,2       | 49,5  | 45,8       | 54,7  | 50,6       | 62,0  | 57,4       |
| 240          | 4                | 23,4 | 16,3       | 28,8 | 20,0       | 32,1 | 22,3       | 36,4 | 25,3       | 42,7  | 29,7       | 49,2  | 34,2       | 53,4  | 37,1       | 58,9  | 40,9       | 66,9  | 46,5       |
| 360          | 6                | 26,0 | 12,0       | 32,0 | 14,8       | 35,6 | 16,5       | 40,5 | 18,8       | 47,4  | 21,9       | 54,6  | 25,3       | 59,3  | 27,5       | 65,5  | 30,3       | 74,3  | 34,4       |
| 540          | 9                | 28,9 | 8,9        | 35,5 | 11,0       | 39,6 | 12,2       | 45,0 | 13,9       | 52,7  | 16,3       | 60,7  | 18,7       | 65,9  | 20,3       | 72,8  | 22,5       | 82,6  | 25,5       |
| 720          | 12               | 31,1 | 7,2        | 38,2 | 8,8        | 42,6 | 9,9        | 48,4 | 11,2       | 56,8  | 13,1       | 65,4  | 15,1       | 71,0  | 16,4       | 78,4  | 18,1       | 88,9  | 20,6       |
| 1080         | 18               | 34,5 | 5,3        | 42,4 | 6,5        | 47,3 | 7,3        | 53,8 | 8,3        | 63,0  | 9,7        | 72,6  | 11,2       | 78,8  | 12,2       | 87,0  | 13,4       | 98,7  | 15,2       |
| 1440         | 24               | 37,2 | 4,3        | 45,7 | 5,3        | 51,0 | 5,9        | 57,9 | 6,7        | 67,9  | 7,9        | 78,1  | 9,0        | 84,9  | 9,8        | 93,7  | 10,8       | 106,3 | 12,3       |
| 2880         | 48               | 44,5 | 2,6        | 54,6 | 3,2        | 60,9 | 3,5        | 69,2 | 4,0        | 81,1  | 4,7        | 93,4  | 5,4        | 101,4 | 5,9        | 112,0 | 6,5        | 127,1 | 7,4        |
| 4320         | 72               | 49,3 | 1,9        | 60,6 | 2,3        | 67,6 | 2,6        | 76,8 | 3,0        | 90,0  | 3,5        | 103,6 | 4,0        | 112,6 | 4,3        | 124,3 | 4,8        | 141,0 | 5,4        |
| 5760         | 96               | 53,1 | 1,5        | 65,3 | 1,9        | 72,8 | 2,1        | 82,7 | 2,4        | 96,9  | 2,8        | 111,6 | 3,2        | 121,2 | 3,5        | 133,8 | 3,9        | 151,8 | 4,4        |
| 7200         | 120              | 56,3 | 1,3        | 69,1 | 1,6        | 77,1 | 1,8        | 87,6 | 2,0        | 102,6 | 2,4        | 118,2 | 2,7        | 128,4 | 3,0        | 141,7 | 3,3        | 160,8 | 3,7        |
| 8640         | 144              | 59,0 | 1,1        | 72,4 | 1,4        | 80,8 | 1,6        | 91,8 | 1,8        | 107,5 | 2,1        | 123,8 | 2,4        | 134,5 | 2,6        | 148,5 | 2,9        | 168,5 | 3,3        |
| 10080        | 168              | 61,3 | 1,0        | 75,4 | 1,2        | 84,0 | 1,4        | 95,5 | 1,6        | 111,9 | 1,9        | 128,8 | 2,1        | 139,9 | 2,3        | 154,5 | 2,6        | 175,3 | 2,9        |

# Starkniederschlagshöhen und -spenden gemäß KOSTRA-DWD-2020

## Rasterfeld 174132

(Zeile 174, Spalte 132)

### Örtliche Unsicherheiten in Abhängigkeit von Wiederkehrzeit T und Dauerstufe D

| Dauerstufe D |     | Wiederkehrzeit T |     |     |     |      |      |      |      |       |
|--------------|-----|------------------|-----|-----|-----|------|------|------|------|-------|
|              |     | 1 a              | 2 a | 3 a | 5 a | 10 a | 20 a | 30 a | 50 a | 100 a |
| min          | Std | ± %              | ± % | ± % | ± % | ± %  | ± %  | ± %  | ± %  | ± %   |
| 5            |     | 12               | 13  | 14  | 14  | 15   | 16   | 16   | 16   | 17    |
| 10           |     | 15               | 17  | 18  | 19  | 20   | 20   | 21   | 21   | 22    |
| 15           |     | 17               | 19  | 20  | 21  | 22   | 23   | 23   | 24   | 24    |
| 20           |     | 18               | 20  | 21  | 22  | 23   | 24   | 25   | 25   | 26    |
| 30           |     | 19               | 21  | 22  | 23  | 24   | 25   | 26   | 26   | 27    |
| 45           |     | 19               | 21  | 22  | 23  | 25   | 25   | 26   | 26   | 27    |
| 60           | 1   | 19               | 21  | 22  | 23  | 24   | 25   | 26   | 26   | 27    |
| 90           | 1,5 | 19               | 21  | 22  | 23  | 24   | 25   | 25   | 25   | 26    |
| 120          | 2   | 18               | 20  | 21  | 22  | 23   | 24   | 24   | 25   | 25    |
| 180          | 3   | 17               | 19  | 20  | 21  | 22   | 23   | 23   | 24   | 24    |
| 240          | 4   | 16               | 18  | 19  | 20  | 21   | 22   | 22   | 23   | 24    |
| 360          | 6   | 15               | 17  | 18  | 19  | 20   | 21   | 21   | 22   | 22    |
| 540          | 9   | 14               | 16  | 17  | 18  | 19   | 20   | 20   | 20   | 21    |
| 720          | 12  | 13               | 15  | 16  | 17  | 18   | 19   | 19   | 20   | 20    |
| 1080         | 18  | 13               | 14  | 15  | 16  | 17   | 18   | 18   | 19   | 19    |
| 1440         | 24  | 12               | 14  | 14  | 15  | 16   | 17   | 17   | 18   | 18    |
| 2880         | 48  | 12               | 13  | 14  | 14  | 15   | 16   | 16   | 16   | 17    |
| 4320         | 72  | 13               | 13  | 14  | 14  | 15   | 15   | 16   | 16   | 16    |
| 5760         | 96  | 13               | 13  | 14  | 14  | 15   | 15   | 15   | 16   | 16    |
| 7200         | 120 | 13               | 14  | 14  | 14  | 15   | 15   | 15   | 16   | 16    |
| 8640         | 144 | 14               | 14  | 14  | 14  | 15   | 15   | 16   | 16   | 16    |
| 10080        | 168 | 14               | 14  | 14  | 15  | 15   | 15   | 16   | 16   | 16    |

### Parameter für abweichende T und D

#### Lokationsparameter $\xi$ (Xi)

16,4801025

#### Skalenparameter $\alpha$ (Alpha)

5,23669604

#### Formparameter $\kappa$ (Kappa)

-0,1

#### 1. Koutsoyiannis-Parameter $\theta$ (Theta)

0,02299232

#### 2. Koutsoyiannis-Parameter $\eta$ (Eta)

0,74335107

Parameter für dauerstufenübergreifende Extremwertschätzung nach KOUTSOYIANNIS et al. 1998.

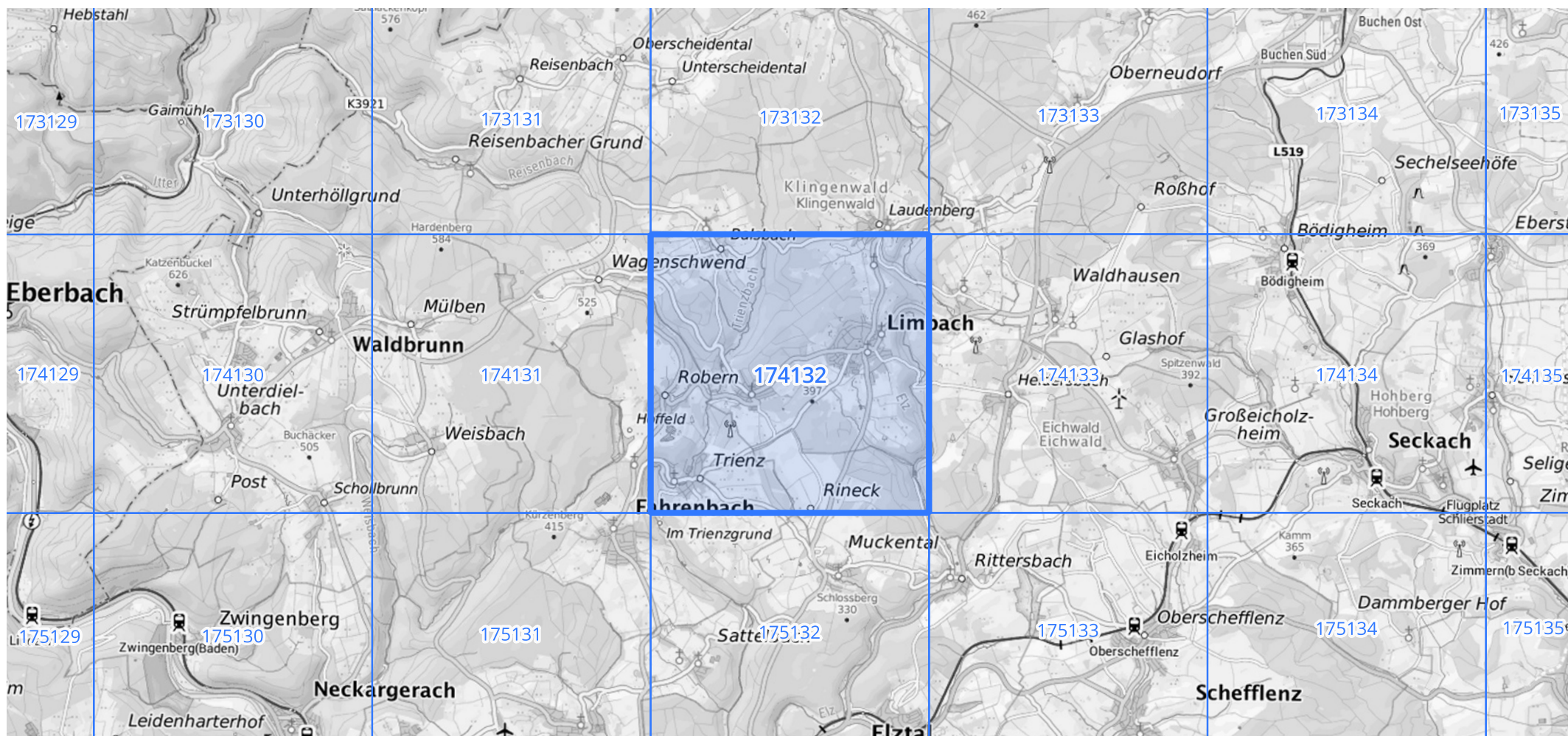
Siehe auch Anwendungshilfe zu KOSTRA-DWD-2020 des Deutschen Wetterdienstes.

## Starkniederschlagshöhen und -spenden gemäß KOSTRA-DWD-2020

## Rasterfeld 174132

(Zeile 174, Spalte 132)

## Übersichtskarte des Rasterfeldes 174132, M 1 : 100 000



Quelle Rasterdaten: KOSTRA-DWD-2020 des Deutschen Wetterdienstes, Stand 12/2022.

Seite 3 von 3

Kartendarstellung: © Bundesamt für Kartographie und Geodäsie (2023), Datenquellen: [https://sgx.geodatenzentrum.de/web\\_public/gdz/datenquellen/Datenquellen\\_TopPlusOpen.html](https://sgx.geodatenzentrum.de/web_public/gdz/datenquellen/Datenquellen_TopPlusOpen.html)

Für die Richtigkeit und Aktualität der Angaben wird keine Gewähr übernommen. Erstellt 01/2023.